

блюдается в сегнетоэлектриках, когда без внешних воздействий две подрешетки частично компенсируют друг друга, а при наложении поля только одна из них может изменять направление антиполяризации на противоположное. Однако при длительном переключении для сегнетоэлектрика ПДГ остается без изменения, а в нашем случае вследствие потери диполями преимущественной ориентации происходит смещение ПДГ в начало координат.

Если предположить, что в силу каких-либо причин поляризация  $\Delta P$  для случая, когда состояние  $P_s \uparrow \uparrow \Delta P$  устойчиво, не будет скомпенсирована, то в процессе переполяризации ПДГ должна иметь вид, изображенный на рис. 2; экспериментально такие петли не наблюдались.

### Список литературы

- [1] Лайнс М., Гласс А. Сегнетоэлектрики и родственные им материалы М., 1981. 736 с.
- [2] Chynowets A. G. // Phys. Rev. 1959. V. 113. N 1. P. 159—166
- [3] Jaskiewicz A. // Acta Phys. Pol. 1965. V. 27. P. 637—647.
- [4] Abe K., Nakamura E., Ushio S. // J. Phys. Soc. Jpn 1984. V. 53. N 9. P. 3220—3226.

Днепропетровский государственный университет  
им. 300-летия воссоединения Украины  
с Россией

Поступило в Редакцию  
26 июня 1990 г

УДК 539.89

© Физика твердого тела, том 33, № 2, 1991  
Solid State Physics, vol. 33, N 2, 1991

## **P—T ДИАГРАММА КРИСТАЛЛИЧЕСКИХ СОСТОЯНИЙ ФТОРСИЛИКАТА КОБАЛЬТА**

*С. К. Асадов, Э. А. Завадский, В. И. Каменев,  
К. В. Каменев, Б. М. Тодрис*

Согласно данным рентгеновских исследований [1, 2], в монокристалле  $\text{CoSiF}_6 \cdot 6 \text{H}_2\text{O}$  при атмосферном давлении в различных температурных интервалах реализуются две кристаллические фазы. Одна из них, ромбоэдрическая (пр. гр.  $R\bar{3}m$ ), существует при температурах выше 246 К. Вторая, моноклинная (пр. гр.  $P2_1/c$ ), — при температурах ниже 259 К. Смена фаз  $R\bar{3}m \leftrightarrow P2_1/c$  происходит путем фазового перехода (ФП) 1-го рода с температурным гистерезисом 246—259 К.

В настоящей работе исследовано влияние гидростатического давления  $P$  на ФП и устойчивость фазовых состояний во фторсиликате кобальта (ФСК).

Исследования проводились на монокристаллических образцах [3] двумя независимыми методами: методом рентгенодифрактометрии (РДМ) и методом дифференциально-термического анализа (ДТА). Достоинством используемой экспериментальной аппаратуры являлось то, что средой, передающей давление на образец, служил газообразный гелий. Это позволяло не только достигать высокой однородности сжатия, но и варьировать давление в интервале 0—120 МПа при любой фиксированной температуре в диапазоне 20—300 К.

Идентификация фазовых состояний кристаллической решетки, установление характера ФП и определение соответствующих  $T$  и  $P$  проводились методом РДМ по виду аномалий на температурных и барических зависимостях величины межплоскостного расстояния  $d_{440}$  (индексы в гексагональной установке), а также по поведению весьма чувствительных к изменению симметрии кристалла формы и интенсивности дифракционного максимума (440).

Определение параметров  $T$  и  $P$  методом ДТА осуществлялось по сопровождающим фазовые изменения тепловым аномалиям в образце.

Результаты исследований обобщены в виде фазовой  $P-T$  диаграммы (рис. 1), на которой незаштрихованные фигуры обозначают точки ФП,

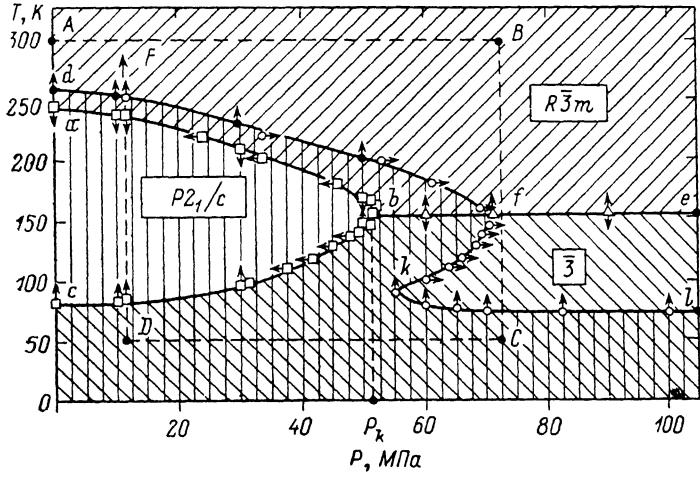


Рис. 1. Фазовая  $P-T$  диаграмма кристаллических состояний  $\text{CoSiF}_6 \cdot 6\text{H}_2\text{O}$ .

определенные методом РДМ, заштрихованные — методом ДТА. Стрелкой возле каждой фигуры показано направление изменения температуры или давления, при котором фиксировался фазовый переход. Области существования различных кристаллических состояний обозначены соответствующей штриховкой.  $P-T$  диаграмма отражает следующие особенности поведения  $\text{CoSiF}_6 \cdot 6\text{H}_2\text{O}$  под давлением.

1. При охлаждении образца ФСК от комнатной температуры ФП 1-го рода  $R\bar{3}m \rightarrow R2_1/c$  наблюдается лишь до давления  $P_k = 50$  МПа. Барическая зависимость температуры этого превращения образует на  $P-T$  диаграмме линию  $ab$ .

2. При  $P > P_k$  фаза  $P2_1/c$  вообще не возникает. На соответствующем этим

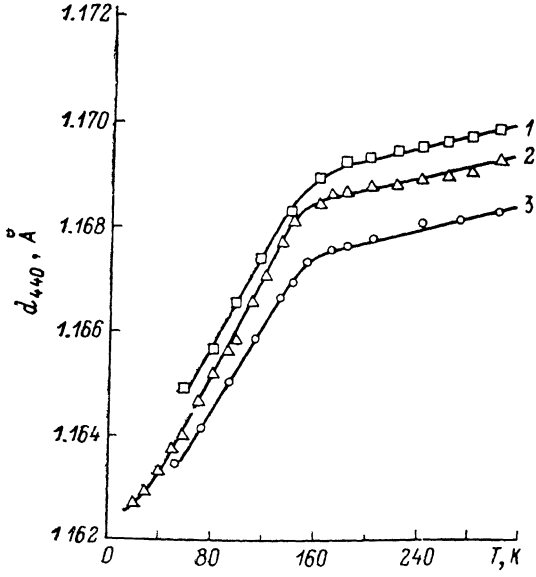


Рис. 2. Температурные зависимости межплоскостного расстояния  $d_{440}(T)$  во фторсиликате кобальта при  $P=60$  (1), 70 (2) и 90 МПа (3).

давлениям участке  $P-T$  диаграммы линия  $bc$  соединяет точки ФП 2-го рода, о существовании которого свидетельствуют перегибы на зависимости их  $d_{440}(T)$  (рис. 2). В окрестности температуры перегиба форма и интенсивность дифракционного максимума не изменяются. Это позволяет утверждать, что в новом состоянии, сменяющем фазу  $R\bar{3}m$  при понижении температуры, сохраняется ось симметрии 3-го порядка. Поэтому условно новое состояние на  $P-T$  диаграмме обозначено  $\bar{3}$ . ФП  $R\bar{3}m \leftrightarrow \bar{3}$  на термограммах ДТА не проявляется.

3. Границей возникновения фазы  $P2_1/c$  на  $P-T$  диаграмме является линия  $abc$ , а границей ее исчезновения — линия  $dflk$ . Между ними заключена область метастабильных состояний, где в зависимости от предыстории образца может сохраняться фаза  $P2_1/c$  либо фазы  $R\bar{3}m$  и  $\bar{3}$ , разграниченные линией  $bf$ .

4. Фаза  $P2_1/c$  может возникать не только вследствие ФП 1-го рода  $R\bar{3}m \rightarrow P2_1/c$  по линии  $ab$ , как отмечалось в п. 1, но и в результате ФП 1-го рода  $\bar{3} \rightarrow P2_1/c$  по линии  $bc$ . Для реализации последнего образец необходимо перевести в состояние  $\bar{3}$  ниже линии  $bc$ , не пересекая границу возникновения фазы  $P2_1/c$ , например, путем изотермического сжатия по линии  $AB$ , изобарического охлаждения по линии  $BC$  и изотермического снижения давления по линии  $CD$ . Дальнейший изобарический отогрев образца, например, по линии  $DF$  приведет к двум ФП:  $\bar{3} \rightarrow P2_1/c \rightarrow R\bar{3}m$  при пересечении линий  $bc$  и  $df$  соответственно. Если охлаждение образца из состояния  $R\bar{3}m$  проводить при фиксированном давлении  $P < P_k$ , то возникшая при пересечении линии  $ab$  фаза  $P2_1/c$  будет сохраняться и при температурах, лежащих ниже линии  $bc$ , а фаза  $\bar{3}$  вообще не реализуется.

В хорошем соответствии с  $P-T$  диаграммой (рис. 1) находятся результаты исследований магнитных свойств ФСК под давлением. Согласно данным [4], при  $P < 30$  МПа ФСК является сверхнизкотемпературным антиферромагнетиком с температурой упорядочения  $\sim 0.17$  К. При давлениях выше 30 МПа происходит смена характера упорядочения на ферромагнитное со скачкообразным понижением температуры до 0.12 К. Такое изменение типа магнитного упорядочения, очевидно, связано с существованием критической величины давления  $P_k$ , ограничивающего возникновение магнитной фазы  $P2_1/c$ . Антиферромагнитное состояние присуще фазе  $P2_1/c$ , а ферромагнитное — фазе  $\bar{3}$ .

В заключение авторы выражают благодарность Л. Ф. Черныш за предоставленные образцы, а В. П. Дьяконову и И. М. Фите — за полезные обсуждения.

#### Список литературы

- [1] Kodera E., Tovii A., Osaki K., Watanabe T. // J. Phys. Soc. Jap. 1972. V. 32. N. 4. P. 863.
- [2] Ray S., Zalkin A., Templeton D. // Acta Cryst. 1973. V. B29. N 7. P. 2741—2747.
- [3] Кабанова Н. Г., Лукин С. Н., Нейло Г. Н., Черныш Л. Ф. // Кристаллография. 1976. Т. 21. № 6. С. 1235—1237.
- [4] Дьяконов В. П., Зубов Э. Е., Фита И. М. // Тез. докл. XXV Всес. совещ. по физике низких температур. Л., 1988. С. 110—111.

Донецкий физико-технический институт  
АН УССР

Поступило в Редакцию  
29 июня 1990 г.

УДК 537.226 : 535.21

© Физика твердого тела, том 33, № 2, 1991  
Solid State Physics, vol. 33, N 2, 1991

## ПРЯМОЕ ИЗМЕРЕНИЕ НЕДИАГОНАЛЬНОЙ КОМПОНЕНТЫ ТЕНЗОРА ЛИНЕЙНОГО ФОТОГАЛЬВАНИЧЕСКОГО ЭФФЕКТА В КРИСТАЛЛАХ $LiNbO_3 : Fe$

С. И. Карабекян

В кристаллах без центра инверсии при однородном освещении в режиме коротковременных электродов появляется стационарный ток. Согласно феноменологической теории [1], выражение для плотности фотовольтаического (ФВ) тока имеет следующий вид: